

1978

NH₃

1978

НН₃CH₄

Колебат.-вращательные спектры поглощения газообразных аммиака и метана в области 600-650 нм методом внутристеклянной лазерной спектроскопии (ВРЛС). Антонов Е. Н., Берик Е. Б., Колошиников В. Г. «Ин-т спектроскопии АН СССР. Препр.», 1978, № 2, 22 с., ил. (рез. англ.)

Исследованы колебательно-вращательные спектры поглощения газообразных аммиака (I) и метана (II) в области 600—650 нм методом внутристеклянной лазерной спектроскопии (ВРЛС) при возбуждении излучением лазера на растворе родамина 6G. Зарегистрирована колебательно-вращательная структура полос $3\nu_1 + 2\nu_3$; $5\nu_3$; $\nu_1 - \nu_4$ и $4\nu_1 + \nu_3$ I. Измерены длины волн, коэф. поглощения в максимумах линий и интегр. интенсивности линий поглощения I и II. Отмечено, что интегр. интенсивности линий поглощения 6050 и 6250 Å I в ~20 раз меньше интенсивности линии 6450 Å. Проведены количеств. измерения интенсивности ряда линий полосы 6190 Å II. Показано, что метод ВРЛС позволяет проводить абс. измерения интегр. интенсивностей полос поглощения с ошибками, не превышающими 10%. Библ. 20.

И. В. А.

Ф. 1978, № 2

NH₃

Connolly 6731 1978.

Bernardi F. et al.

Cod.
noct. J. Mol. Structure,
Monographs 1978, 48, 243-48

All initio computation
of force constants.

NH₃

1978

Bernardi, Fernando, et al.

Gazz. Chim. Ital. 1978, 108/1-2;

Vicenzi

27-32.



cor. H₂O - III

H₂S, HF, H₂O, NH₃ (pacem 60) BX-90 1973

Guzzetta V., Rocca R. 1976

Chem. Phys. lett., 1976, 52, N.1, 134-138 (arccos)

Results of diagonal ARPA calculations for H₂S, HF, H₂O and NH₃.

Am. 66/24

PNEPAC, 1978, 12.2-163 10 (P)

1978

NH₃

Clark D.T.

NH₃⁺

Cromarty B.J., et al.

water
D.r. complex,
Ziegler
D.r. peroxides.

J.ElectronSpectrosc.and
Relat Phenom., 1978,
13, N2, 85-90,

(ed. Chy, III)

Mn_3^+ Lamotte 6518a/ 1978.

Colboenne D., et al.

Configur.

uncertain J. Chem. Phys., 1978,
68 (8), 3574-80.



(eu. HOCl; iii)

1978

NH₃

Corderman R.R. et al.

Inorg. Chem., 1978, 17,
N6, 1585-88

A_H⁺

do

(C₆H₅PF₃)^{III}

NH_3
 ND_3

спектр ИК
в матрице

Отмск 6046

1978

9 Д359. ИК-спектры ND_3 и NH_3 в матрицах из Ar в области деформационных колебаний v_2 . Cugleу John A., Liberts Sandra, Pullin David E. The infrared matrix isolation spectra of ND_3 and NH_3 in a argon matrix in the v_2 bending region. «Austral. J. Chem.», 1978, 31, № 2, 247—253 (англ.)

Изучены ИК-спектры поглощения (700 — 1200 см^{-1}) NH_3 и ND_3 в матрицах из Ar при 7 — 23°K . Выполнено отнесение колебательных частот ND_3 . Полосы в области деф. кол. v_2 ND_3 интерпретированы по модели газовой фазы с несколько измененными вращательными постоянными (эффективное значение $B' + B'$ принято для матрицы равным $9,85 \text{ см}^{-1}$ по сравнению с $10,25 \text{ см}^{-1}$ для газовой фазы). В случае NH_3 указанное отличие величин больше. Значение инверсного расщепления для ND_3 в Ar найдено равным $2,0 \pm 0,1 \text{ см}^{-1}$. Отмечено наличие в спектре ND_3 в Ar-матрице ряда линий, не идентифицируемых по газофазной модели. Библ. 14.

С. Ф. Б.

90-1978, № 9

NH₃

1978

تہذیب

Cugley J.A., et al.

Crustif
Ceropales
cl. 17.

Aust. J. Chem.,
1978, 31, 247-53

1978

NH₃

ND₃

in
matrix
& gas phase

88: 112843a The infrared matrix isolation spectra of ammonia-d₃ and ammonia in an argon matrix in the ν_2 bending region. Cugley, John A.; Liberts, Sandra; Pullin, David E. (Dep. Chem., Monash Univ., Clayton, Aust.). *Aust. J. Chem.* 1978, 31(2), 247-53 (Eng). The spectra of NH₃ and

ND₃ in an Ar matrix were obtained in the ν_2 (bending fundamental) region. The ν_2 region of ND₃ is interpreted in terms of a gas-phase model, with slightly altered rotational consts. Thus for the matrix an effective value of $(B'' + B') = 9.85$ is required compared with 10.25 cm^{-1} for the gas phase. This represents a smaller fractional change than for NH₃. The inversion splitting of ND₃ in the Ar matrix is clearly resolved and a value of $2.0 \pm 0.1 \text{ cm}^{-1}$ deduced. However, there are extra lines in the spectrum of ND₃ which cannot be assigned on the basis of a gas-phase model. For NH₃ some vib-rotor lines are composite, in particular Q(1₁⁺) and Q(1₁⁻) are close triplets.

C.A. 1978, 88, 816

NH₃

CH₃F

D₂O

(J_i)

+2

☒

1978

7 Б245. Новые линии лазеров непрерывного действия на D₂O, ¹²CH₃F и ¹⁴NH₃ в далекой ИК-области.
Danielewicz Edward J., Weiss Carl O. New

cw FAR-infrared D₂O, ¹²CH₃F and ¹⁴NH₃ laser lines.
«Opt. Commun.», 1978, 27, № 1, 98—100 (англ.)

Получены новые линии лазеров непрерывного действия на D₂O, ¹⁴NH₃ и ¹²CH₃F в длинноволновой ИК-области. Оптич. накачку осуществляли CO₂-лазером. Использованы линии R(17) (D₂O, NH₃) и R(15) (CH₃F). Возбуждаемые переходы, длины волн (в мкм), поляризация (относительно поляризации накачивающего излучения) и отнесение линий испускания в далекой ИК-области: D₂O—v=0→v₂=1, 10_{1,9}→9_{2,8}; 112,6, ⊥, 9_{2,8}→→9_{1,9} и 94,5, ||, 9_{2,8}→8_{1,7}; ¹⁴NH₃—v=0→v₂=1, s(3,3)→→a(4,3); 290,2, ⊥, a(4,3)→s(4,3) и 87,4, ||, a(4,3)→→s(3,3); ¹²CH₃F—v=0→v₃=1, (6,2)→(6,2); 992,0, ⊥, (6,2)→(5,2).

В. М. Ковба

20.1978, N 7

NH₃

1948

Bibchfield Robert, et al.

Chem. Phys. Lett., 1978, 54,

MI, 57-60.

pacelli
parvobecu.
red. ver. pmi

Call. CH-III

NH₃

1978

Giardini - Guidoni G. et al.

Adv. Mass. Spectrom. Vol 7A,
Proc. 7th Int Mass Spectrom.
Conf., Florence, 1976
London, 1978, 175-181 /aureo.)



(eas. CO₂; III)

NH₃

Fresh P., Pullman A.

1978

Theor. chim. acta, 1978, 49,
n 4, 283-294.

Зеекуп.
европ.



(acq. H₂O $\frac{III}{\text{—}}$)

NH₃

1948

Гризеб Т. Н. и др.

13 Всер. Чигаев. со.бес. №
химии ко-лидерс. соедин.,
1948. с. 1948, 113

г. Челябинск
импульс

coll. О₂ - 17

стмисс 6328

1978

ННЗ

22 Б13. Расчет возбужденных состояний H_2O и NH_3 методом одноцентрового разложения. Hatano Yasuyuki, Nomura Tsutomu, Tanaka Kiyoshi. Calculation of excited states of H_2O and NH_3 by the one-center expansion approximation. «Int. J. Quant. Chem.», 1978, 13, № 2, 207—220 (англ.)

Методом MO_ССП в приближении одноцентрового разложения проведен расчет электронной структуры и потенциальных кривых (ПК) для деф. кол. в основных, возбужденных и ионизированных состояниях молекул воды и аммиака. Рассмотрены деформации, сохраняющие симметрию C_{2v} для молекулы воды и симметрию C_{3v} для молекулы аммиака. Для расчета ПК возбужденных состояний применен метод улучшенных виртуальных орбиталей, предложенный Хантом и Годдардом. ПК ионизированных состояний получены по теореме Купманса. Для всех состояний одной молекулы использовался один и тот же базис слейтеровских функций. Орбитальные экспоненты у базисных функций, использованных для записи занятых орбиталей, находились из условия минимума энергии основного состояния при

(E_i, γ)

Сдел. нар.

Рабоч. лист.

Д

2.1978, № 2

эксперим. геометрии для каждой молекулы. Экспоненты базисных функций, описывающих виртуальные орбитали, находились минимизацией энергии соотв-щего возбужденного состояния при равновесной геометрии для основного состояния. Рассчитанные ПК, энергии возбуждения и ионизации, равновесные геометрич. параметры и силовые постоянные деф. кол. для основного, возбужденных и ионизированных состояний обеих молекул хорошо согласуются с эксперим. данными и результатами неэмпирич. расчетов в многоцентровом приближении. Силовые постоянные вал. кол. завышены примерно в 2 раза по сравнению с эксперим. значениями. Сделан вывод, что использованный метод является достаточно эффективным при расчетах электронных св-в возбужденных состояний ридбергова типа.

В. Б. Павлов-Веревкин

дас
еств

NH₃

1948

Hiberiy P.C., leforestier C.

метод

расслое.

москв.

ергутаевъ?

J. Amer. Chem. Soc., 1948,
100, N^o 7, 2012-2014

авт. BH₃ ; III

NH₂H Omnicell 6453 1978
Hopkinson et al.

Hydrogen
peroxide
decomposition
monolayer.
Hub, J., *React
Chem.*, 1978, ~~12~~ 13

349-66

NH₃

(v₂)

16 Б276. Инфракрасная — микроволновая двухфотонная спектроскопия полосы v_2 аммиака с $^{13}\text{C}^{16}\text{O}_2$ - и $^{12}\text{C}^{18}\text{O}_2$ -лазерами. Jones Harold. Infrared-microwave two-photon spectroscopy with $^{13}\text{C}^{16}\text{O}_2$ and $^{12}\text{C}^{18}\text{O}_2$ lasers of the v_2 -band of ammonia. «Appl. Phys.», 1978, 15, № 3, 261—264 (англ.)

При использовании ряда лазерных линий в области частот от 887 до 1096 см⁻¹ $^{13}\text{C}^{16}\text{O}_2$ - и $^{12}\text{C}^{18}\text{O}_2$ -лазеров и перестраиваемого МВ-излучения в диапазоне частот 14—34 Гц измерено 40 ИК—МВ двухфотонных переходов в полосе v_2 аммиака. При уровне МВ-мощности 10 мвт/см² зарегистрированы двухфотонные переходы с отстройкой от частоты лазерной линии вплоть до 11 Гц. Частоты большинства переходов измерены с точностью ± 15 Мгц. Для четырех переходов измерены двухфотонные лэмбовские провалы с точностью ± 3 Мгц. За исключением нескольких линий измеренные частоты согласуются в пределах точности измерений с вычисленными на основе 25 известных молек. постоянных для аммиака. Расхождения в частотах для некоторых линий связаны с искажением формы линий, случайными резонансами и эффектами центробежного искажения.

С. Н. Мурзин

2: 1978, N 16

1978

NH₃

8 Д481. Инеракрасномикроволновая двухфотонная спектроскопия ν_2 -полосы аммиака с использованием $^{13}\text{C}^{16}\text{O}_2^-$ и $^{12}\text{C}^{18}\text{O}_2$ -лазеров. Jones Harold. Infrared-microwave two-photon spectroscopy with $^{13}\text{C}^{16}\text{O}_2^-$ and $^{12}\text{C}^{18}\text{O}_2$ lasers of the ν_2 -band of ammonia. «Appl. Phys.», 1978, 15, № 3, 261—264 (англ.)

С использованием лазеров на $^{13}\text{C}^{16}\text{O}_2^-$ и $^{12}\text{C}^{18}\text{O}_2$ с плотностью мощности 6—60 вт/см² и кластронов (5—10 мвт/см²) методом двухфотонной ИК-МВ-спектроскопии выполнены прецезионные измерения частот 30 вращательных линий полосы ν_2 молекулы аммиака в области 887—1096 см⁻¹: погрешность измерений не превышает 0,0005 см⁻¹. По провалам Лэмба насыщенного двухфотонного поглощения измерены частоты 4-х линий с точностью до 0,0001 см⁻¹. Показано, что измеренные частоты всех переходов, за исключением $Q(7,7)_{as}$ и $R(4,3)_{as}$, в пределах погрешностей измерений согласуются с их значениями, вычисленными по литературным данным для молекулярных констант: значительные расхождения (до 0,003 см⁻¹) между вычисленными и измеренными частотами переходов $Q(7,7)$ и $R(4,3)$ интерпретированы центробежным резонансом.

М. Р. Алиев.

90; 1978, N8

¹⁵NH₃ enneac 6750 1978
Jones H.

Mr. Y. mol. Spectrosc;
1978, 70, 279-87
Two - Photon Spectroscopy of..

1978

9 Д355. По поводу исследования ударной релаксации NH_3 по двойному ИК-микроволновому резонансу. Кано S., Морита N., Атапо T., Shimizu T. Note on infrared-microwave double resonance study of collisional relaxation of NH_3 . «J. Chem. Phys.», 1978, 68, № 4, 2020–2021 (англ.)

Дискуссия по поводу интерпретации наблюденных ранее авторами статьи релаксационных процессов в опытах по двойному ИК-микроволн. резонансу NH_3 . Выдвинутое в работе (Lemaire J., Herlemont F., «J. Chem. Phys.», 1978, 68, 2008) предположение, что инверсионно-инверсионный перенос энергии является единственным процессом, определяющим возрастание сигнала двойного резонанса, а динамич. эффект Штарка может быть существенным в условиях эксперимента, отвергается. Влияние колебательно-колебательного переноса энергии на релаксационные процессы доказывается дополнительными опытами по изучению двойного и тройного резонанса в NH_3 и низкой вероятностью селективного возбуждения инверсионных уровней при столкновениях молекул с тепловыми скоростями, а роль динамич. эффекта Штарка в работе оценена при неверных предположениях о ширине линий и приводит к контуру, который не согласуется с наблюдаемым в опыте.

М. Тонков

ударная
релаксация

Ф. 1978, № 9

NH_3^+

1978.

pacets
recess
reservoir),
 ν_i

Kello V., et al
Chem. Phys. Lett
1978, 53 (3)
555-59.

(err. NH_2 ; ii)

NH₃

1978.

Kello V., et al.

pacet
reovirus
monocyt,
Di

Chem. Phys. Lett.,
1978, 53 (3), 555-59.

(cii NH₂; II^+)

NH₃

исследование
распределения
заряда

ЕД

22.1978 № 2

1978
22 Б11. Метод описания распределения зарядов в простых молекулах. Kollman Peter A. A method of describing the charge distribution in simple molecules. «J. Amer. Chem. Soc.», 1978, 100, № 10, 2974—2984 (англ.)

Предложен простой эмпирич. подход к описанию распределения зарядов в небольших молекулах, основанный на рассмотрении валентных электронных пар. Для молекул NH₃, H₂O, HF, PH₃, H₂S, HCl рассмотрено несколько вариантов такого описания: а) связывающая электронная пара (СЭП) представлена зарядом —2, расположенным на связи в точке, делящей расстояние AB обратно пропорционально электроотрицательностям A и B; неподеленная электронная пара (НЭП) представлена зарядом —2, положение к-рого определяется из условия воспроизведения дипольного момента молекулы; б) СЭП представлена парциальными зарядами на атомах, НЭП — как в (а); в) и г) СЭП — как в (б), а НЭП представлена парциальными зарядами (величина к-рых определена из условия воспроизведения эксперим. дипольного момента), расположеными на атоме и на расстоянии вандерваальсова радиуса r_v и $1/2 r_v$, соотв.; д) распределение заряда описывается зарядами на ато-

макс. Вычислены электростатич. потенциалы (U) в нек-рых точках, энергии димеризации для всех пар рассмотренных молекул (36 димеров) и геометрия димеров (с H-связью). Наилучшее качеств. согласие с экспериментом и неэмпирич. расчетами получено для вариантов (в) и (г). С использованием варианта (в) вычислены распределения зарядов, положения НЭП и потенциалы U для след. молекул и ионов CH_4 , NH_4^+ , Li^+ , F^- , CH_3F , CH_3OH , CH_3NH_2 , CF_3H , H_2CO , HCN , HNC , C_2H_4 , C_2H_2 , H_2NCHO , SO_2 , H_2 , N_2 , CO_2 , а также для возбужденных состояний H_2CO ($\pi \rightarrow \pi^*$ и $\pi \rightarrow \pi^*$). Вычисленные U находятся в качеств. согласии с результатами квантовохим. расчетов. Предложена эмпирич. ф-ла для энергии димеризации: $\Delta E = 1390 \times U_k \times U_o$, где U_k (U_o) — потенциалы льюисовской к-ты (основания), E в ккал/моль, U в ат. ед./А. Получена также аналогичная ф-ла с использованием градиентов U : $\Delta E = -4230 \times \nabla U_k \times \nabla U_o$ [в обоих случаях калибровка по $(\text{H}_2\text{O})_2$]. Обсуждено применение предложенных ф-л, проведено сопоставление с др. методами описания распределения зарядов.

М. Гофман

NH₃

Крупнов А. Ф.

1978

Вестн. АН СССР, 1978, № 7,
18-29.

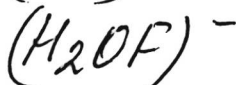
обзор,
и. в. спектр.

см. DGS; III

NH₃ number 6788 1978
Ketovskov V.S.
(cccp)
Savelyev-
Bozdygnev.
Savitskaya. Comments on atomic
Mol. Phys. 1978
8 (1-2), 39-49.

1978

C. et. 6300



88 58796r All-valence LCAO MO SCF INDO method for ground and excited state properties. Lipinski, J.; Nowek, A.; Chojnacki, H. (Inst. Org. Phys. Chem., Tech. Univ. Wroclaw, Wroclaw, Pol.). *Acta Phys. Pol. A* 1978, A53(2), 229-34 (Eng). An AVE-LCAO-MO SCF INDO method for calcg. the ground-state and excited-state properties of mols. and mol. complexes was obtained by applying the theor. relation of J. Linderberg and L. Seamans (1974) to the resonance integral. Values of dipole moments (e.g., for water, NH_3 , HCHO), electronic transition energies and oscillator strengths (e.g., for C_2H_4 , pyridine), and equil. intermol. distances and heats of complex formation (e.g., for $(\text{H}_2\text{O})_2$, $[\text{H}_2\text{OF}]^-$, $(\text{NH}_3)_2$) calcd. with the method agreed satisfactorily with the available exptl. data or existing ab-initio calens.

angus boggs, Ze, 414
Kb. exp. fact



(+5)

c.a. 1978, 88, v22

NH₃ omniwell 6300 1978
· μ Lipinski J; et al.
f_{mn}; E Acta phys. polon.,
1978, A53, 225-31

NH₃

Chemical 6665 1975.

Mehendale P.K., et al

Ojillito

No Ammoni.

"f. Planch."

Theor. chim. acta

1978, 48, 301-321

NH₃

1978

Mo Otilia, et al.

rb, uex.
facto

Theor. chim. acta, I978,
47, N4, 263-273.

(eu. H₂O; 11)

NH₃

стмиса 6255 1978

20 Б52. Изучение электростатических сил в молекулах с использованием плавающих волновых функций: сравнительные исследования влияния этих сил на строение CH₃⁺ и NH₃. Nakatsuji H., Matsuda K., Yonezawa T. Electrostatic force study with floating wave function; comparative study on the origins of the molecular shapes of CH₃⁺ and NH₃. «Bull. Chem. Soc. Jap.», 1978, 51, № 5, 1315—1323 (англ.)

сигнал
модель

С использованием плавающих волновых функций, удовлетворяющих теореме Гельмана—Фейнмана для протонов, проведено изучение сил и распределения электронной плотности, определяющих структуру CH₃⁺ (I) и NH₃ (II). На основе расчетов I и II количественно подтверждено, что развитая в пред. работах («J. Am. Chem. Soc.», 1975, 95, 2084) теория электростатич. сил позволяет дать корректное описание конфигураций молекул.

Э. Герман

2, 1978, N 20

NH_3

CH_3^+

NH_3^+

исл. иссл.

расчет

(+)

☒

отмечено 7128

7548

5 Д163. Теория электростатических сил для молекул и взаимодействующих молекул. 7. Проверка силовых концепций, основанная на неэмпирических плавающих волновых функциях для NH_3 , CH_3^+ и NH_3^+ . Nakatsuji H., Канаяма S., Нагада S., Yonezawa T. Electrostatic force theory for a molecule and interacting molecules. 7. Ab initio verification of the force concepts based on the floating wave functions of NH_3 , CH_3^+ , and NH_3^+ . «J. Amer. Chem. Soc.», 1978, 100, № 24, 7528—7534 (англ.)

На основе неэмпир. расчетов NH_3 , CH_3^+ и NH_3^+ изучена применимость теории электростатич. сил для определения молекулярной геометрии. Расчеты проводились в приближении ССП в миним. базисе плавающих ф-ций типа СТО-ЗГФ, что обеспечивало выполнение теоремы Гельмана-Файнмана для всех сил при изменении геометрии молекулы. Рассчитаны силы, действующие на ядра центрального атома, F_A , и атомов водорода, F_H , и представлены карты изменения электронной плотности для различных значений угла θ ,

(исл. CH_3^+ ; H)

Ф.1949.15

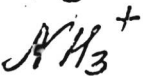
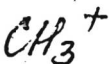
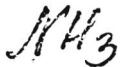
характеризующего выход ребра А—Н из плоскости Н—Н—Н. Рассмотрена роль отдельных вкладов в F_A и F_H , связанных с взаимодействием атомных диполей, обменными взаимодействиями и зарядами на атомах. Результаты анализа позволили количественно представить F_A в виде суммы силы атомных диполей и «силы связи», соотносимых соответственно с неподеленной парой на атоме А и связью А—Н, что объясняет успех разработанной ранее силовой концепции. Ч. б. Н. Nakatsuji «Am. Chem. Soc.», 1974, 96, 30.

В. А. Барановский⁴

СИТИ
Х.

Омичек №189

1978



геометрия
свойства

(+2)

☒

2.19.79 NG

9 Б56. Электростатическая теория сил для молекул и взаимодействующих молекул. 7. Неэмпирическая проверка метода сил с использованием плавающих волновых функций для NH₃, CH₃⁺ и NH₃⁺. Nakatsuji H., Kanayama S., Nagada S., Yonezawa T. Electrostatic force theory for a molecule and interacting molecules. 7. Ab initio verification of the force concepts based on the floating wave functions of NH₃, CH₃⁺, and NH₃⁺. «J. Amer. Chem. Soc.», 1978, 100, № 24, 7528—7534 (англ.)

На основании полученных из расчета неэмпирич. методом ССП — ЛКАО — МО молекулярных волновых ф-ций в базисе плавающих АО, к-рые удовлетворяют теореме Гельмана — Фейнмана, пересмотрены основные выводы теории электростатич. сил при описании геометрии молекул AH₃: NH₃, CH₃⁺ и NH₃⁺. Плавающие волновые ф-ции указанных систем рассчитывали при различных значениях угла θ (где θ — угол выхода из плоскости), но при фиксированных значениях межатомных расстояний: 1,033 Å в NH₃, 1,120 Å в CH₃⁺ и 1,056 Å в NH₃⁺. Использован минимальный базис ОСТ-ЗГФ. Все АО/полагали плавающими и их оптим. положения определяли при сохранении тригон. симмет-

рии из условия одновременного исчезновения сил всех АО. Проведен анализ сил, действующих на атом A (F_A). Показано, что величина F_A количественно определяется как сумма противоположных вкладов: силы, связанной в основном с неподеленной парой атома A .

тн.
ями
мо

1978

NH₃

89: 97451w A new electronic state of ammonia observed by multiphoton ionization. Nieman, George C.; Colson, Steven D. (Sterling Chem. Lab., Yale Univ., New Haven,

Conn.). *J. Chem. Phys.* 1978, 68(12), 5656-7 (Eng). By using the multiphoton ionization technique a new strong absorption was found in the region of the *C* state of NH₃ and an anal. of the rovibronic structure of the NH₃ and ND₃ spectra establishes this as a new state of NH₃. In addn. bands were obsd. due to other states of NH₃ not obsd. in the 1-photon spectrum. A new absorption band (origin at 75,780 cm⁻¹) due to the NH radical was obsd. The results show that there are 2 sep. band systems obsd. between the *B* and *D* states of NH₃.

Decker
Colson

Q.A. 1545, RD, VR

NH₃

Nitsch W., Kiefer W.

1978

J. Mol. Struct., 1978, 45, 343-8.

Cherkemp R.P.



(cav. O₂)¹¹

NH₃

1978

Park, Jae H.

From Sci.Tech.Aerosp.Rep.

1978, I6(3), Abstr.No.N78-I2608.

авдас

У.К. СИКІР

ав. H₂O-III

NH₃

1978

Peeters D., Leroy G.

racine
monocell.
Kieboix,
Leclercq,
Refaeli,
Guillet.

Theor. chim. acta,
1978, 50 (2), 135-144

(see: HF; ¹⁵N)

NH₃

Polezzzo S., et al 1978

rb. mex.
pacem

Mol. Phys., 1978, 36(6),
1835-43.

● (ca 1 Hz; III)

NH₃

ommuna 7443

1978

monoclinus

Polezzzo S., et al.

E, nb. sect.
faces

Mol. Phys., 1978,
36 (6), 1835-43.

NH₃

Sn. 6316, XIII - 4302) 1978

pacem

cp. kapp.

annularis

torifex

Ranawary K., Palaniap
pan P.R.,

Acta phys. vol. 1978,
A53, N 4, 813 - 818

NH₃

Lommel 4528 | 1978

Ramaswamy K.
et al.

pacifiques.
americ.
nordiques.
Méjane

Acta phys. polon.
1978, A53 (5), 733-36

NH₃

1978

22 Б245. Измерения спектра NH₃ в области 9,5 мк при помощи диодного лазера. Sattler J. P., Ritter K. J. Diode laser spectra of NH₃ in the 9,5- μ m region. «J. Mol. Spectrosc.», 1978, 69, № 3, 486—488 (англ.)

список

При помощи диодного лазера в области длии волн 8,5—10,4 мк с разрешением около 0,0033 см⁻¹ измерена мультиплетная структура переходов SR(J, K) с J от 1 до 9 и нек-рых переходов aR- и sQ-ветвей в спектре газообразного NH₃. Измерения выполнены при комн. т-ре при давл. NH₃ около 0,5 мм. Разности частот в мультиплетах измерены при помощи германиевого эталона с периодичностью полос 0,0493 см⁻¹. При отнесении линий использованы данные об интенсивностях компонент в мультиплетах. Полученные результаты согласуются с известными данными. С. Н. Мурзин



2.1978, N22

1978

NH₃

12 Д477. Спектры NH₃ в области 9,5 мк, полученные с помощью полупроводникового лазера. Sattler J. P., Ritter K. J. Diode laser spectra of NH₃ in the 9.5- μ m region. «J. Mol. Spectrosc.», 1978, 69, № 3, 486—488 (англ.)

С помощью перестраиваемого полупроводникового лазера получены ИК-спектры поглощения газообразного аммиака при давл. 0,5 мм рт. ст. в области 8,5 и 10,4 мк. Измерены относит. положения компонент в девяти K-мультиплетах $sR(J, K)$ для $J=1 \div 9$ с точностью 0,0033 см⁻¹.

Ю. М. Л.

ф. 1978, № 12

NH₃

1978

88: 128535n Diode laser spectra of ammonia in the 9.8- μm region. Sattler, J. P.; Ritter, K. J. (Harry Diamond Lab., Adelphi, Md.). *J. Mol. Spectrosc.* 1978, 69(3), 486-8 (Eng). High-resoln. absorption spectra (8.5-10.4 μM) of the ν_2 band of gaseous NH₃ were obtained by using Pb-salt diode lasers. Nine $sR(J,K)$ multiplets with $J = 1$ to 9 were resolved and identified and the sepns. of other closely spaced aR - and sQ -branch lines were measured. The sepns. are accurate to within 0.0033 cm⁻¹. The results show that the location of the $sQ(8,6)$ transition may have been miscataloged by S. M. F. round and T. Oka (1976) and by F. Shimizu (1970).

C.A., 1978, 82, N18

NH₃

1978

6 Б-12. Неэмпирические расчеты силовых постоянных в нормальных координатах. Sellers H. L., Klimkowski V. J., Schäfer Lothar. Normal coordinate ab initio force relaxation. «Chem. Phys. Lett.», 1978, 58, № 4, 541—544 (англ.)

Получены соотношения $x = AQ$ и $F_Q \approx AF_x$, где x — массово-взвешенные декартовы колебательные координаты, Q — нормальные координаты, F_x , F_Q — силовые постоянные в этих координатах. Матрица A , зависящая от геометрич. строения молекулы, определяется из решения колебательной задачи в координатах x . Вектор равновесных значений декартовых координат атомов на $(i+1)$ -ом этапе итерации $p_{i+1} = p_i + A_i \pi^{-1} F_Q$, где λ — матрица квадратов частот колебаний. Матрица F_x вычисляется по квантовому методу расчета ab initio. Описанным способом рассчитаны длины связей и валентные углы в молекулах воды, амиака, метана, формамида и этана. Оказываются достаточными две итерации.

М. А. Ковнер

(сост. H₂O; \bar{m})

Х. 1979, № 6

1978

NH₃

V92: 169657e Proton affinity of ammonia. Thakur, Lambodar; Sandwar, B. B. (Post-Grad. Dep. Chem., Bhagalpur Univ., Bhagalpur, India). *Fert. Technol.* 1978, 15(3-4), 291-2 (Eng). The lattice energies of ammonium halide crystals at 298.18 K were calcd. from a new equation by T. and A.K. Sinha (1977). The proton affinity of ammonia calcd. from the new lattice energy values is -859 ± 10 kJ mol⁻¹.

(AH⁺)

CA 1980 92 N2D

NH₃

19.48

10 Д242. Влияние инверсионного движения в молекуле аммиака на K -удвоение вращательных уровней.
Стариков В. И., Тютерев Вл. Г. «Геория и рас-

чет параметров спектр. линий молекул атмосф. газов».
Томск, 1978, 74—85

В рамках модели нежесткой молекулы с корректным учетом движения с большой амплитудой в кинетической и потенц. частях колебательно-вращательно-инверсионного гамильтониана получено выражение для постоянной K -удвоения ($K=3$) молекулы NH_3 с помощью операторной теории возмущений в форме контактных преобразований. Полученные результаты сравниваются с выводами менее строгой модели «полужесткой» молекулы. Отмечено, что найденные ф-лы справедливы и для других молекул симметрии C_{3v} . А. Ф. Шестаков

10.04.90



Ф.19.48.110

№3

З Д391. Микроволновые Σ -переходы аммиака в
присутствии сильного электрического поля. V ге-
де J. P. M., Dijkgraaf H. A. Microwave Σ -transi-
tions of ammonia in the presence of strong electric fi-
elds. «Phys. Lett.», 1978, A67, № 5—6, 360—362 (англ.)

1978

$M. \delta. \Sigma -$
— переходы

Теоретически показано, что недиагональные матрич-
ные элементы штарковского гамильтониана, связываю-
щие инверсионно-вращательные уровни с $\Delta f = 1 (s-a)$,
должны привести к расщеплению микроволнистых линий с
 $\Delta M = \pm 1$ молекулы аммиака в сильном электрическом поле.
Такое расщепление обнаружено экспериментально для
перехода с $f=4, K=2, M=3-4$ в поле с напряжен-
ностью $7,1 \cdot 10^3$ в/см и для перехода с $J=3, K=3, M=$
 $=1-2$ в поле с напряженностью $3,5 \cdot 10^3$ в/см. Рассмот-
рен также сильный эффект Штарка в квадрупольной
сверхтонкой структуре вращательного спектра аммиа-
ка.

М. Р. Алиев

Ф. 1979, №3

83 week 7207

1978

NH₃

90: 110389z Theoretical investigations of barriers to inversion. Weller, T.; Lochmann, R. (Dep. Phys., Karl-Marx-Univ., Leipzig, F. Ger.). *Acta Chim. Acad. Sci. Hung.* 1978, 98(3), 297-302 (Eng.). Inversion barriers were studied in NH₃, NH₂Me, NHMe₂, NMe₃, NCl₃, NCIMe₂, NCH₂, PH₃, PMe₃, and PF₃ by the perturbative CI with localized orbitals (PCILO) method. The results are compared with exptl. and other MO calcs. The PCILO method is not superior to INDO or CNDO/2 methods. It gives only qual. results.

No
unpublished

④ ⑧ NH₂CH₃ N(CH₃)₃
NH(CH₃)₂ NCl₃ ✓
NCl(CH₃)₂
PH₃ PF₃ ✓
C.A. 1979, 90, N14

1978

*NH₃**Спектр*

6 Д523. Улучшенный расчет инверсионного спектра NH₃. Young L. D. G., Young A. T. An improved fit to the inversion spectrum of ¹⁴NH₃. «J. Quant. Spectrosc. and Radiat. Transfer.», 1978, 20, № 5, 533—537 (англ.)

Проведена дополнительная обработка инверсионного спектра газообразного аммиака в микроволн. области, полученного ранее (Poynter R. L et al. «Astrophys. J., Suppl. Ser.», 29, 87, 1975). Уровни инверсионной энергии описаны с помощью аппроксимации Паде, числитель и знаменатель выражения образованы полиномами вращательной энергии. Учтено К-удвоение уровней с K=3,6,9... Предложенный метод дает почти на порядок лучшее согласие рассчитанных частот с наблюденными в опыте, чем достигнуто до сих пор. Это связано в основном с тем, что авторы исключили из расчета линий, положение которых сильно отличается от рассчитанного в их работе. Библ. 13.

М. Тонков

сп. 1979, № 6